



PROYECTO FINAL INTEGRADOR

AUTOMÁTICA Y MÁQUINAS ELÉCTRICAS

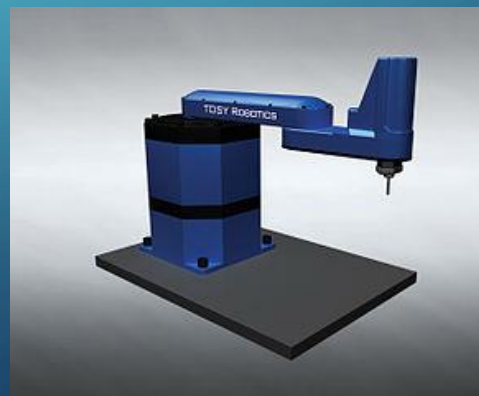
JONATHAN OBREDOR - 2017

TEMAS

- Modelo de la Máquina eléctrica de CA
- Lazo abierto
- Controlabilidad y observabilidad
- Control Vectorial: control desacoplado de par motor y flujo magnético
- Observador
- Simulación en tiempo continuo



ESQUEMA GENERAL



MODELO: SISTEMA MECÁNICO

Carga

$$J_l \ddot{q}(t) = T_q(t) - b_l \dot{q}(t) - T_l(t)$$

Transmisión rígida - 1 GDL

$$\begin{cases} \dot{q}(t) = \frac{1}{r} \omega_m(t) \\ T_q(t) = r T_d(t) \end{cases}$$

En la máquina eléctrica

$$\begin{cases} J_m \dot{\omega}_m(t) = T_m(t) - b_m \omega_m(t) - T_d(t) \\ \dot{\theta}_m(t) = \omega_m(t) \end{cases}$$

Finalmente

$$J'_m = J_m + \frac{J_l}{r^2} \wedge b'_m = b_m + \frac{b_l}{r^2} \wedge T'_l = \frac{T_l}{r}$$

$$\begin{cases} J'_m \dot{\omega}_m(t) = T_m(t) - b'_m \omega_m(t) - T'_l(t) \\ \dot{\theta}_m(t) = \omega_m(t) \end{cases}$$

MODELO

S. electromagnético

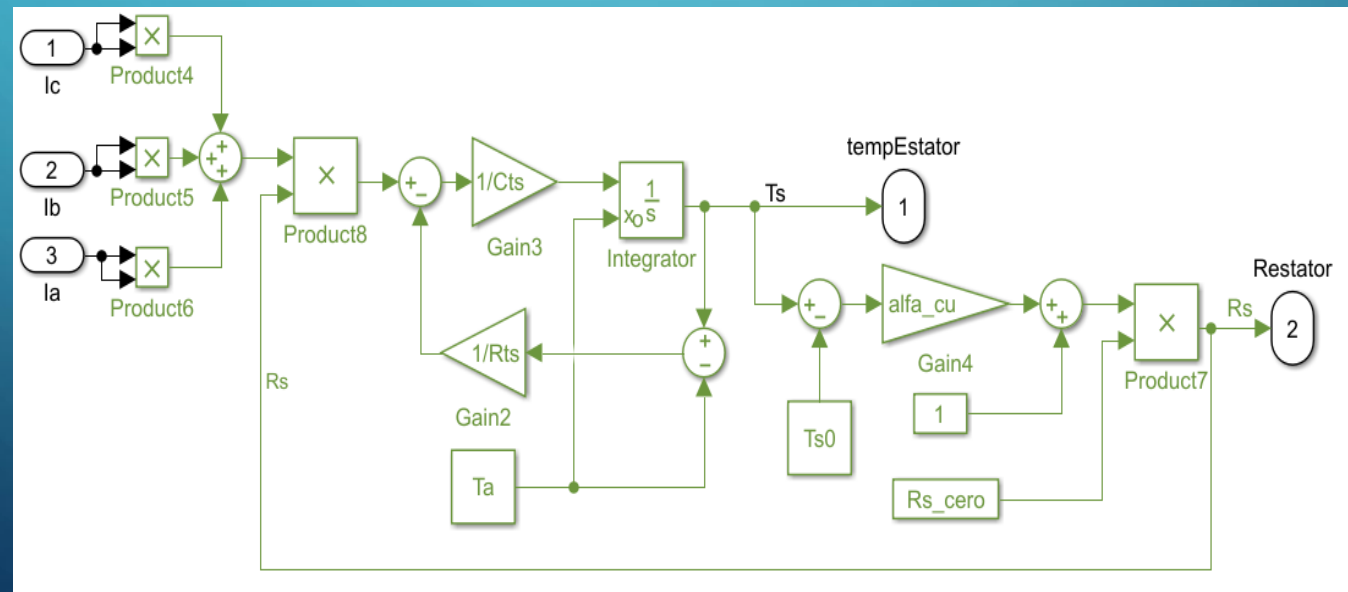
$$\begin{cases} T_m(t) = \frac{3}{2} P_p [\lambda_{af} + (L_d - L_q) i_d(t)] i_q(t) \\ \omega_r(t) = P_p \omega_m(t) \end{cases}$$

S. eléctrico del Estator

$$\begin{cases} V_q(t) = R_s i_q(t) + L_q \frac{di_q(t)}{dt} + [\lambda_{af} + L_d i_d(t)] \omega_r(t) \\ V_d(t) = R_s i_d(t) + L_d \frac{di_d(t)}{dt} - L_q i_q(t) \omega_r(t) \\ V_0(t) = R_s \cdot i_{os}(t) + L_{ls} \cdot \frac{di_{os}(t)}{dt} = 0 \end{cases}$$

MODELO: SISTEMA TÉRMICO

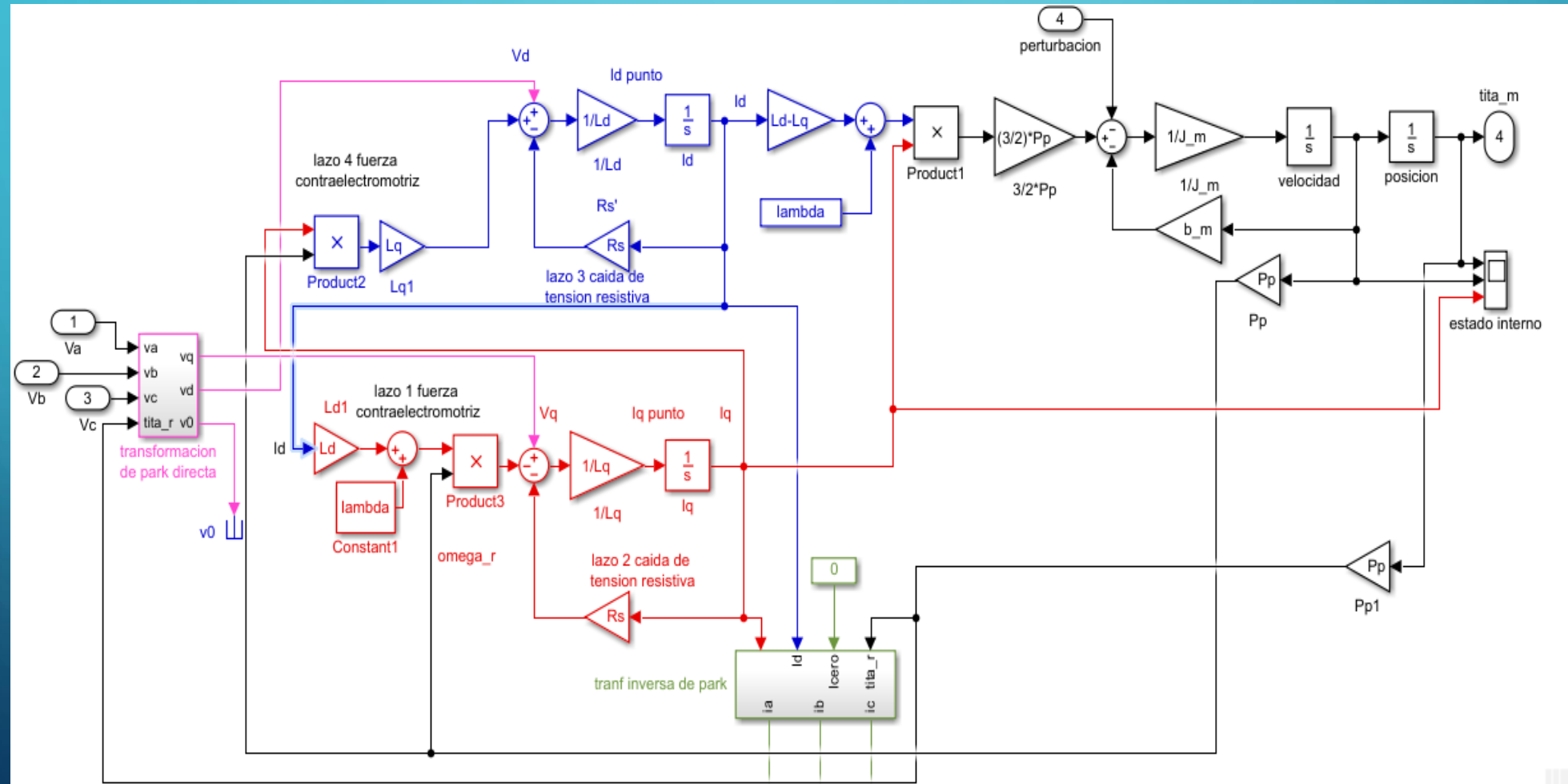
$$\begin{cases} P_{s\text{ perd}}(t) = R_s \left(i_{as}(t)^2 + i_{bs}(t)^2 + i_{cs}^2(t) \right) \\ P_{s\text{ perd}}(t) = C_{ts} \frac{dT_s(t)}{dt} + \frac{1}{R_{ts-amb}} (T_s(t) - T_{amb}(t)) \\ R_s = R_{s0} (1 + \alpha_{Cu} (T_s(t) - T_{s0})) \end{cases}$$



MODELO GLOBAL NO LINEAL

$$\bullet \left\{ \begin{array}{l} \dot{\omega}_m(t) = \frac{3}{2} P_p [\lambda_{af} + (L_d - L_q) i_d(t)] \frac{i_q(t)}{J'_m} - \frac{b'_m}{J'_m} \omega_m(t) - \frac{1}{J'_m} T'_l(t) \\ \dot{\theta}_m(t) = \omega_m(t) \\ \dot{i}_q(t) = -\frac{R_s}{L_q} i_q(t) - [\lambda_{af} + L_d i_d(t)] \frac{P_p}{L_q} \omega_m(t) + \frac{V_q}{L_q}(t) \\ \dot{i}_d(t) = -\frac{R_s}{L_d} i_d(t) + \frac{L_q P_p}{L_d} i_q(t) \omega_m(t) + \frac{V_d}{L_d}(t) \\ \dot{i}_0(t) = \frac{1}{L_{ls}} V_0(t) - \frac{R_s}{L_{ls}} i_0(t) \\ \dot{T}_s(t) = \frac{1}{C_{ts}} \left\{ R_{s0} (1 + \alpha_{Cu} (T_s(t) - T_{s0})) * (i_{as}(t)^2 + i_{bs}(t)^2 + i_{cs}(t)^2) - \frac{1}{R_{ts-amb}} (T_s(t) - T_{amb}(t)) \right\} \end{array} \right.$$

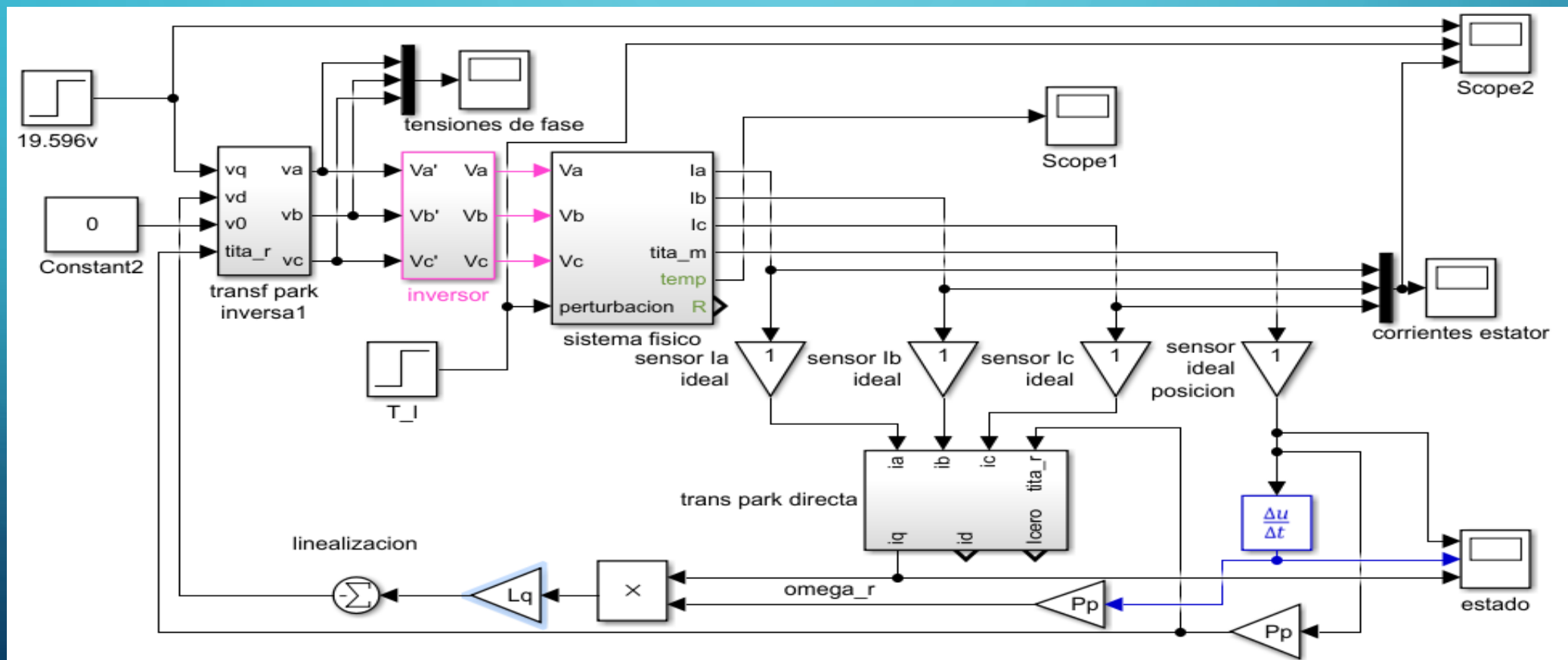
MODELO GLOBAL NO LINEAL



MODELO LTI

- La tensión en el eje directo es:
- $V_d(t) = R_s i_d(t) + L_d \frac{di_d(t)}{dt} - L_q i_q(t) \omega_r(t)$
- $V_d(t) = -L_q i_q P p \omega_m$

MODELO LTI



MODELO LTI

Con la restricción el sistema queda:

$$\dot{X} = \begin{bmatrix} \dot{\theta} \\ \dot{\omega}_m \\ \dot{i}_q \end{bmatrix} = \begin{bmatrix} 0 & 1 & 0 \\ 0 & \frac{-b'_m}{J'_m} & \frac{3}{2} \frac{Pp \lambda_{af}}{J'_m} \\ 0 & -\frac{Pp \lambda_{af}}{L_q} & -\frac{R_s}{L_q} \end{bmatrix} * \begin{bmatrix} \theta \\ \omega_m \\ i_q \end{bmatrix} + \begin{bmatrix} 0 \\ 0 \\ 1 \\ \frac{1}{L_q} \end{bmatrix} V_q + \begin{bmatrix} 0 \\ 1 \\ -\frac{1}{J'_m} \\ 0 \end{bmatrix} T'_l = \begin{bmatrix} 0 & 1 & 0 \\ 0 & \frac{-b'_m}{J'_m} & \frac{3}{2} \frac{Pp \lambda_{af}}{J'_m} \\ 0 & -\frac{Pp \lambda_{af}}{L_q} & -\frac{R_s}{L_q} \end{bmatrix} * \begin{bmatrix} \theta \\ \omega_m \\ i_q \end{bmatrix} + \begin{bmatrix} 0 & 0 \\ 0 & -\frac{1}{J'_m} \\ \frac{1}{L_q} & 0 \end{bmatrix} \begin{bmatrix} V_q \\ T'_l \end{bmatrix}$$

$$Y = [1 \ 0 \ 0] * \begin{bmatrix} \theta \\ \omega_m \\ i_q \end{bmatrix}$$

MODELO LTI

- efecto sobre $i_{abcs}(t)$

$$\begin{bmatrix} i_{as} \\ i_{bs} \\ i_{cs} \end{bmatrix} = \begin{bmatrix} \cos(\theta_r) & \text{sen}(\theta_r) & 1 \\ \cos\left(\theta_r - \frac{2\pi}{3}\right) & \text{sen}\left(\theta_r + \frac{2\pi}{3}\right) & 1 \\ \cos\left(\theta_r + \frac{2\pi}{3}\right) & \text{sen}\left(\theta_r + \frac{2\pi}{3}\right) & 1 \end{bmatrix} * \begin{bmatrix} i_q \\ i_d \\ i_0 \end{bmatrix} = \begin{bmatrix} \cos(\theta_r) & \text{sen}(\theta_r) & 1 \\ \cos\left(\theta_r - \frac{2\pi}{3}\right) & \text{sen}\left(\theta_r + \frac{2\pi}{3}\right) & 1 \\ \cos\left(\theta_r + \frac{2\pi}{3}\right) & \text{sen}\left(\theta_r + \frac{2\pi}{3}\right) & 1 \end{bmatrix} * \begin{bmatrix} i_q \\ 0 \\ i_0 \end{bmatrix}$$

$$\begin{cases} i_{as} = \cos(\theta_r) i_q + i_0 \\ i_{bs} = \cos\left(\theta_r - \frac{2\pi}{3}\right) i_q + i_0 \\ i_{cs} = \cos\left(\theta_r + \frac{2\pi}{3}\right) i_q + i_0 \end{cases}$$



$$\begin{cases} i_{as} = \cos(\theta_r) i_q \\ i_{bs} = \cos\left(\theta_r - \frac{2\pi}{3}\right) i_q \\ i_{cs} = \cos\left(\theta_r + \frac{2\pi}{3}\right) i_q \end{cases}$$

- $i_0 = 0$

DIFERENCIA CON EL MOTOR CC?

- Si $I_d=0$ $\Rightarrow V_q(t) = R_s i_q(t) + L_q \frac{di_q(t)}{dt} + [\lambda_{af}] P_p \omega_m(t)$ $\Rightarrow K_e = \lambda_{af} P_p$
 $T_m(t) = \frac{3}{2} P_p \lambda_{af} i_q(t)$ $\Rightarrow K_t = \frac{3}{2} P_p \lambda_{af}$

$$K_t \neq K_e$$

MODELO LPV

asumir $z(t) = Z_{op}(t) + \Delta z(t)$

sistema $\begin{cases} \dot{\underline{X}} = f(\underline{x}(t), \underline{u}(t)) \\ y(t) = C \cdot \underline{X}(t) \end{cases} \quad \Rightarrow \quad \frac{d \left(\underline{X}_{op}(t) + \underline{\Delta X}(t) \right)}{dt} = f \left(\underline{X}_{op}(t) + \underline{\Delta X}(t), \underline{u}_{op}(t) + \underline{\Delta u}(t) \right)$

Expandir serie de Taylor, se trunca al 1° termino, e igualar

- Se expande en serie de Taylor y se trunca en el término lineal

- $$f\left(\underline{X}_{op}(t) + \underline{\Delta X}(t), \underline{u}_{op}(t) + \underline{\Delta u}(t)\right) \cong f\left(\underline{X}_{op}(t), \underline{u}_{op}(t)\right) + \left[\frac{\partial f}{\partial \underline{X}}\right]_{op} \cdot \underline{\Delta X}(t) + \left[\frac{\partial f}{\partial \underline{u}}\right]_{op} \cdot \underline{\Delta u}(t)$$

- Finalmente

- $$\frac{d \underline{X}_{op}(t)}{dt} + \frac{d \underline{\Delta X}(t)}{dt} \cong f\left(\underline{X}_{op}(t), \underline{u}_{op}(t)\right) + \left[\frac{\partial f}{\partial \underline{X}}\right]_{op} \cdot \underline{\Delta X}(t) + \left[\frac{\partial f}{\partial \underline{u}}\right]_{op} \cdot \underline{\Delta u}(t)$$

ESPACIO DE OPERACIÓN NO LINEAL

$$\frac{d \underline{X_{op}(t)}}{dt} + \frac{d \underline{\Delta X(t)}}{dt} \cong f \left(\underline{X_{op}(t)}, \underline{u_{op}(t)} \right) + \left[\left. \frac{\partial f}{\partial \underline{X}} \right|_{op} \cdot \underline{\Delta X(t)} + \left. \frac{\partial f}{\partial \underline{u}} \right|_{op} \cdot \underline{\Delta u(t)} \right]$$

- $\frac{d \underline{X_{op}(t)}}{dt} = \underline{\dot{X_{op}(t)}} = f \left(\underline{X_{op}(t)}, \underline{u_{op}(t)} \right) \cong 0$

ESPACIO DE OPERACIÓN NO LINEAL

$$\dot{\theta}_{m_{op}}(t) = \omega_{m_{op}}(t) \cong cte$$

$$\dot{\omega}_{m_{op}}(t) = \frac{3 P_p}{2 J'_m} \left[\lambda_{af} + (L_d - L_q) i_{d_{op}}(t) \right] i_{q_{op}}(t) - \frac{b'_m}{J'_m} \omega_{m_{op}}(t) - \frac{1}{J'_m} T'_{l_{op}}(t) \cong 0$$

$$\dot{i}_{q_{op}}(t) = -\frac{R_s}{L_q} i_{q_{op}}(t) - \left[\lambda_{af} + L_d i_{d_{op}}(t) \right] \frac{P_p}{L_q} \omega_{m_{op}}(t) + \frac{1}{L_q} V_{q_{op}}(t) \cong 0$$

$$\dot{i}_{d_{op}}(t) = -\frac{R_s}{L_d} i_{d_{op}}(t) + \frac{L_q P_p}{L_d} i_{q_{op}}(t) \omega_{m_{op}}(t) + \frac{1}{L_d} V_{d_{op}}(t) \cong 0$$

$$\dot{i}_{0_{op}}(t) = \frac{1}{L_{ls}} V_{0_{op}}(t) - \frac{R_s}{L_{ls}} i_{0_{op}}(t) \cong 0$$

MODELO LPV

$$\frac{d \underline{X}_{op}(t)}{dt} + \frac{d \underline{\Delta X}(t)}{dt} \cong f \left(\underline{X}_{op}(t), \underline{u}_{op}(t) \right) + \left[\left. \frac{\partial f}{\partial \underline{X}} \right|_{op} \cdot \underline{\Delta X}(t) + \left. \frac{\partial f}{\partial \underline{u}} \right|_{op} \cdot \underline{\Delta u}(t) \right]$$

$$\bullet \frac{d \underline{\Delta X}(t)}{dt} = \underline{\dot{\Delta X}}(t) = \left[\left. \frac{\partial f}{\partial \underline{X}} \right|_{op} \cdot \underline{\Delta X}(t) + \left. \frac{\partial f}{\partial \underline{u}} \right|_{op} \cdot \underline{\Delta u}(t) \right]$$

$$\bullet \text{ Con } \underline{x}(t) = \begin{bmatrix} \theta(t) \\ \omega(t) \\ i_q(t) \\ i_d(t) \\ i_0(t) \end{bmatrix} \text{ y } \underline{u}(t) = \begin{bmatrix} T_l'(t) \\ V_q(t) \\ V_d(t) \\ V_0(t) \end{bmatrix}$$

MODELO LPV

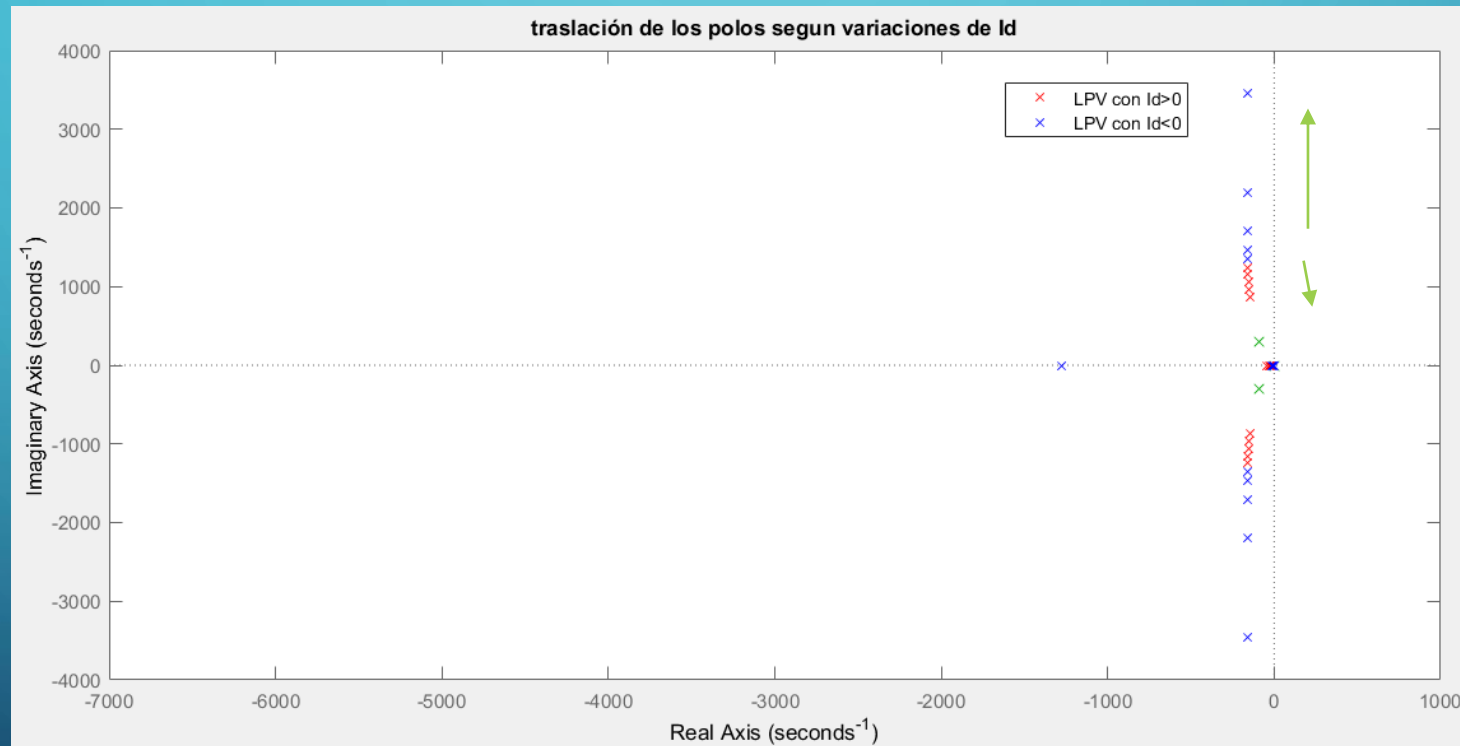
- Haciendo todas las derivadas parciales y reemplazando en el punto de operación:

$$\begin{bmatrix} \Delta \dot{\theta}(t) \\ \Delta \dot{\omega}(t) \\ \Delta \dot{i}_q(t) \\ \Delta \dot{i}_d(t) \\ \Delta \dot{i}_0(t) \end{bmatrix} = \begin{bmatrix} 0 & 1 & 0 & 0 & 0 \\ 0 & -\left(\frac{b'_m}{J'_m}\right) & \frac{3}{2} \frac{P_p \lambda_{af}}{J'_m} + \frac{3}{2} \frac{P_p (L_d - L_q)}{J'_m} i_{d_{op}}(t) & \frac{3}{2} P_p (L_d - L_q) i_{q_{op}}(t) & 0 \\ 0 & -\frac{P_p}{L_q} [\lambda_{af} + L_d i_{d_{op}}(t)] & -\left(\frac{R_s}{L_q}\right) & -\frac{L_d P_p}{L_q} \omega_{m_{op}}(t) & 0 \\ 0 & \frac{L_q P_p}{L_d} i_{q_{op}}(t) & \frac{L_q P_p}{L_d} \omega_{m_{op}}(t) & -\left(\frac{R_s}{L_d}\right) & 0 \\ 0 & 0 & 0 & 0 & -\left(\frac{R_s}{L_{ls}}\right) \end{bmatrix} \begin{bmatrix} \Delta \theta(t) \\ \Delta \omega(t) \\ \Delta i_q(t) \\ \Delta i_d(t) \\ \Delta i_0(t) \end{bmatrix} + \begin{bmatrix} 0 & 0 & 0 & 0 \\ -\left(\frac{1}{J'_m}\right) & 0 & 0 & 0 \\ 0 & \frac{1}{L_q} & 0 & 0 \\ 0 & 0 & \frac{1}{L_d} & 0 \\ 0 & 0 & 0 & \frac{1}{L_{ls}} \end{bmatrix} \begin{bmatrix} \Delta T'_l(t) \\ \Delta V_q(t) \\ \Delta V_d(t) \\ \Delta V_0(t) \end{bmatrix}$$

Con un estado inicial genérico $\Delta \dot{X}_0 =$

$$\begin{bmatrix} \Delta \theta_0(t) \\ \Delta \omega_0(t) \\ \Delta i_{q_0}(t) \\ \Delta i_{d_0}(t) \\ \Delta i_{0_0}(t) \end{bmatrix}$$

DEBILITAMIENTO Y REFUERZO DE CAMPO



ANÁLISIS A LAZO ABIERTO DEL LTI

FUNCIONES DE TRANSFERENCIA

$$\dot{X} = \begin{bmatrix} 0 & \frac{1}{J'_m} & 0 \\ 0 & \frac{-b'_m}{J'_m} & \frac{3}{2} \frac{P_p \lambda_{af}}{J'_m} \\ 0 & -\frac{P_p \lambda_{af}}{L_q} & -\frac{R_s}{L_q} \end{bmatrix} * \begin{bmatrix} \theta \\ \omega_m \\ i_q \end{bmatrix} + \begin{bmatrix} 0 & 0 \\ 0 & -\frac{1}{J'_m} \\ \frac{1}{L_q} & 0 \end{bmatrix} \begin{bmatrix} V_q \\ T'_l \end{bmatrix}$$

- $\theta_m(s) = G1 V_q(s) + G2 T'_l(s)$

- $G1 = \frac{\frac{3}{2} P_p \lambda_{af}}{\left[J'_m L_q s^2 + (J'_m R_s + b'_m L_q) s + b'_m R_s + \frac{3}{2} (P_p \lambda_{af})^2 \right] s}$

- $G2 = \frac{-(L_q s + R_s)}{\left[J'_m L_q s^2 + (J'_m R_s + b'_m L_q) s + b'_m R_s + \frac{3}{2} (P_p \lambda_{af})^2 \right] s}$

- *polos :*

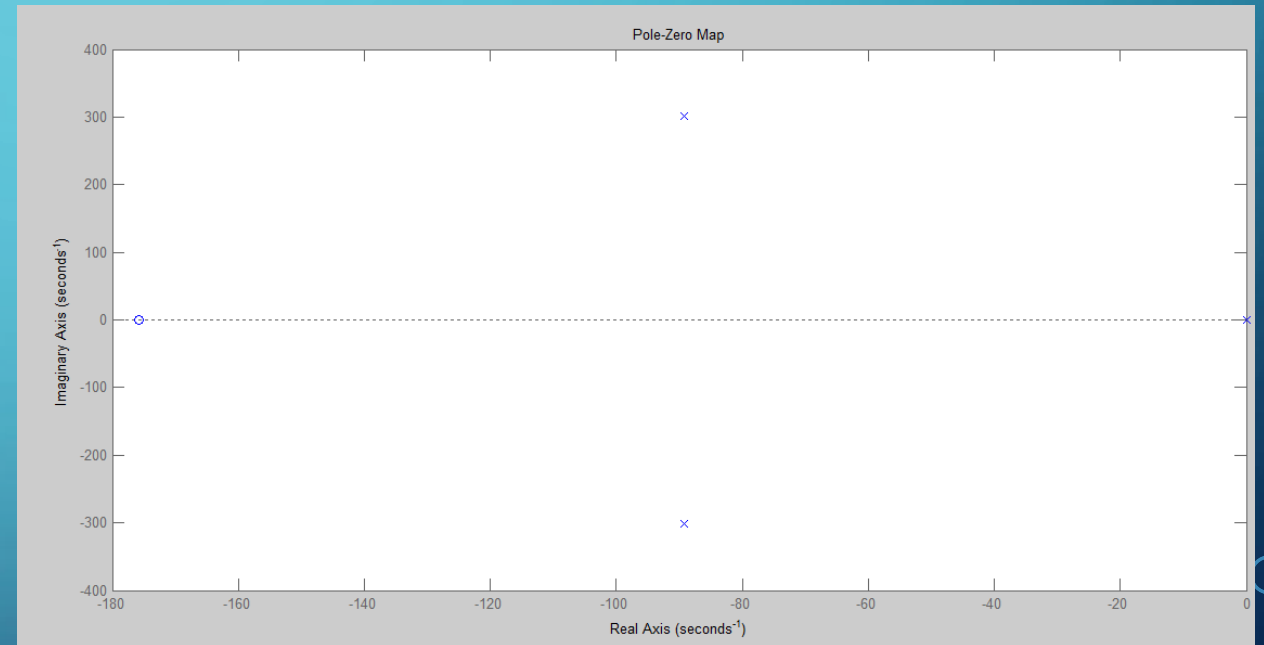
$$\begin{matrix} -89.2582 + 301.573 * i \\ -89.2582 - 301.573 * i \\ 0 \end{matrix}$$

- *ceros:*

$$-175.8621 \text{ (perturbación)}$$

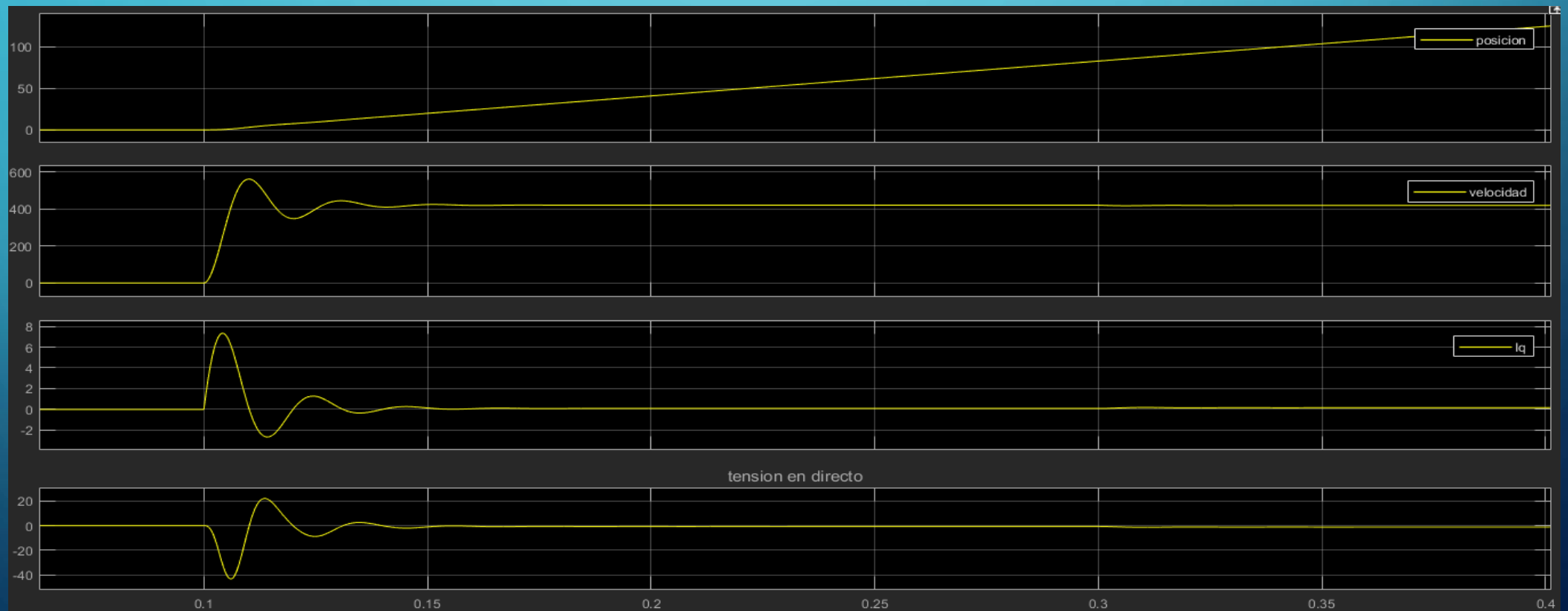
ANÁLISIS A LAZO ABIERTO: ESTABILIDAD

- $\omega_n = \sqrt{\frac{2b'_m R_s + \frac{3}{2}(P_p \lambda_{af})^2}{2J'_m L_q}} = 314,5047 \text{ rad/s}$
- $\xi = \frac{J'_m R_s + b'_m L_q}{2J'_m L_q \omega_n} = 0,2838$ subamortiguado

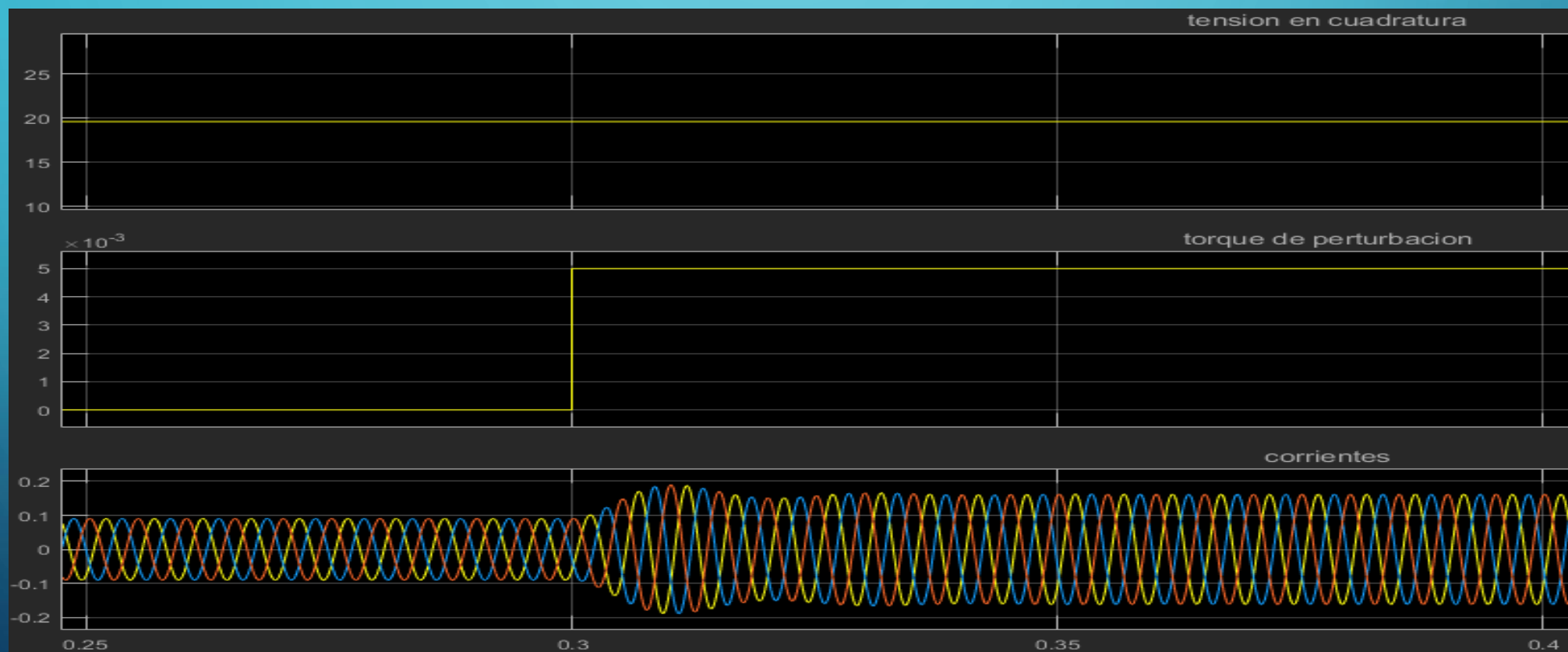


ESCALÓN DE TENSIÓN DE ESTATOR $19.596 V_{cc}$ EN $0.1 s$
ESCALÓN DE TORQUE DE CARGA $1.57 Nm$ EN $0.3 s$

ESTADO INTERNO



TRANSITORIO AL APLICAR LA PERTURBACIÓN



PARÁMETROS DE ESTABLECIMIENTO

- **velocidad** angular es $419 \frac{rad}{s}$
- la **corriente** en cuadratura 0,2A
- sobrepico $I_q = 7,32A$



CONTROLABILIDAD

$$\mathcal{C} = [B \mid AB \mid A^2B]$$

$$\mathcal{C} = \begin{bmatrix} 0 & 0 & \frac{3Pp\lambda}{2J'mLq} \\ 0 & \frac{3Pp\lambda}{2J'mLq} & \frac{-3b'mPp\lambda}{2J'm^2Lq} - \frac{3Pp\lambda R_s}{2J'mLq} \\ \frac{1}{Lq} & \frac{-R_s}{Lq^2} & \frac{-3(Pp\lambda)^2}{2J'mLq} + \frac{R_s}{Lq^3} \end{bmatrix}$$

Encoder!



OBSERVABILIDAD

$$\mathcal{O} = [C \mid CA \mid CA^2]^T$$

- Desde la posición es observable

$$\mathcal{O}_\theta = \begin{bmatrix} 1 & 0 & 0 \\ 0 & 1 & 0 \\ 0 & \frac{-b'm}{J'm} & \frac{3Pp\lambda}{2J'm} \end{bmatrix}$$

- Desde la velocidad no es observable

$$\mathcal{O}_\omega =$$

$$\begin{bmatrix} 0 & \frac{1}{J'm} & 0 \\ 0 & \frac{-b'm}{J'm} & \frac{3Pp\lambda}{2J'm} \\ 0 & \left(\frac{b'm}{J'm}\right)^2 - \frac{3(Pp*\lambda)^2}{2J'mLq} & -\frac{3b'mPp*\lambda}{2J'm^2} - \frac{3Pp\lambda R_s}{2J'mLq} \end{bmatrix}$$

CONTROLADOR DE MOVIMIENTO EN CASCADA

Control vectorial

Desacoplar lazos de realimentación 

1° regulador de corriente

2° modulador de torque

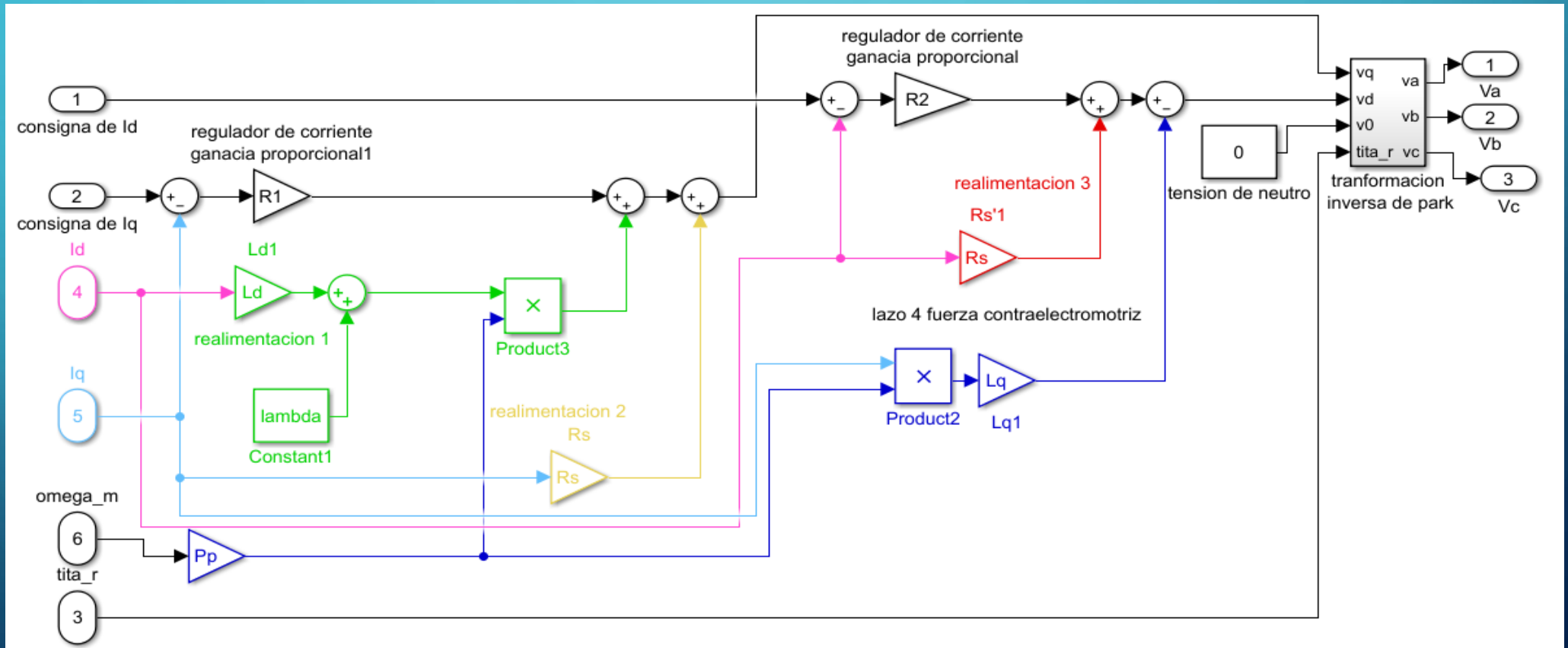
1° eje en cuadratura

- caídas resistivas, $I_d \cdot R_s$
- fuerza contraelectromotriz $\omega_m \cdot Pp \cdot (\lambda + L_d i_d)$

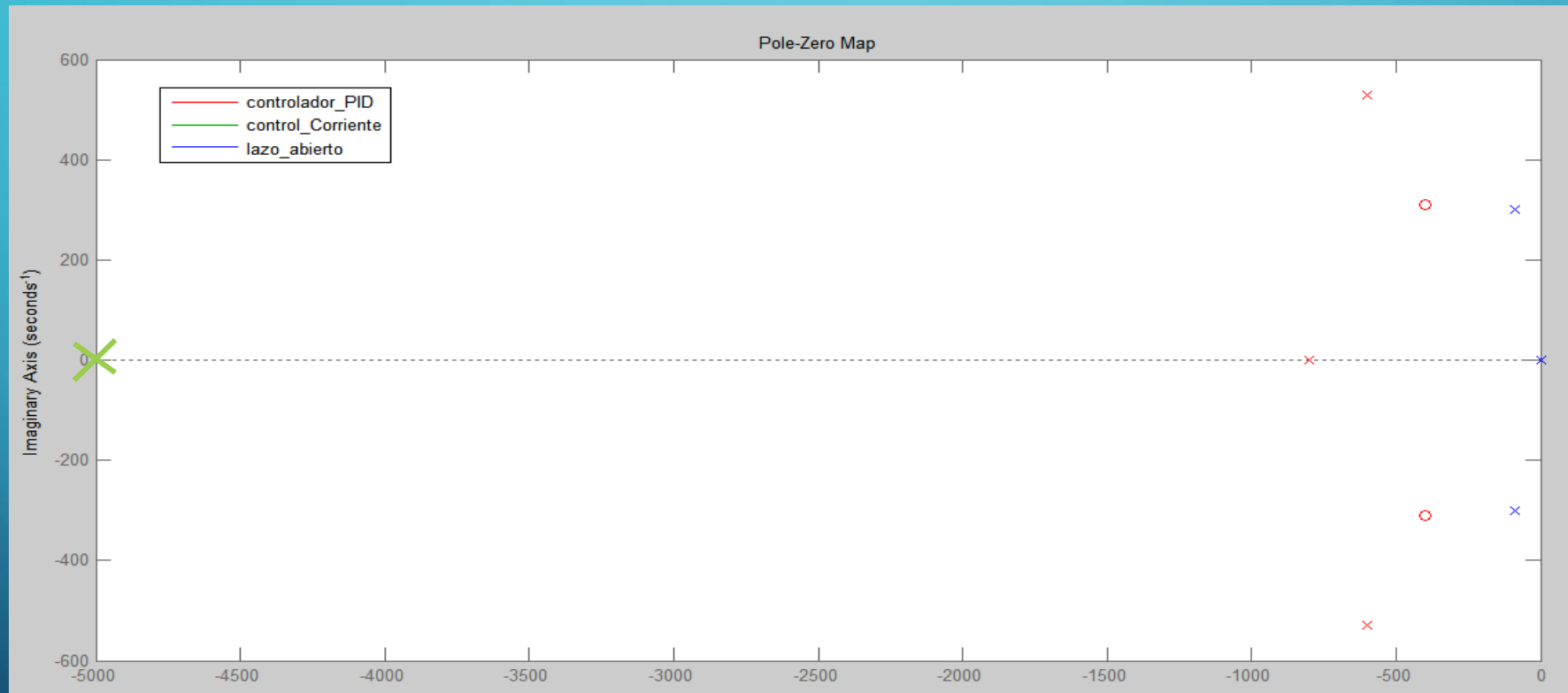
2° eje directo

- caída resistiva $I_q \cdot R_s$
- fuerza contraelectromotriz $-\omega_m L_q i_q$

CONTROLADOR DE MOVIMIENTO: MANIPULACIÓN DE CORRIENTE



MANIPULACIÓN DE CORRIENTE

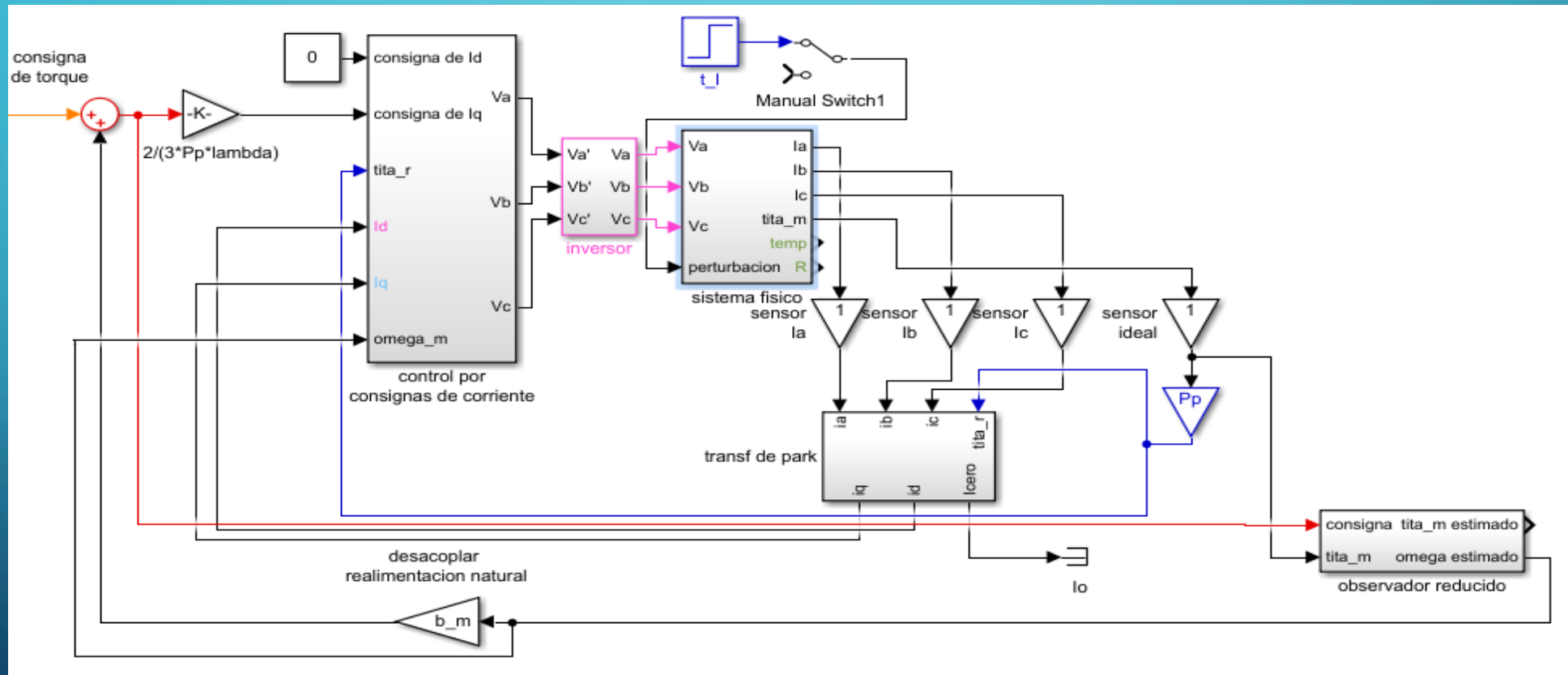


$$\frac{di_q}{dt} = \frac{R_s}{L_q} (i_q^* - i_q) \rightarrow Iq(s) = \frac{1}{s \frac{L_q}{R_s} + 1} Iq(s)^* \rightarrow$$

$$R_{s1} \cong 29 [\text{rad} * H/s] = [\Omega]$$

$$R_{s2} = 33 [\text{rad} * H/s] = [\Omega]$$

CONTROLADOR DE MOVIMIENTO: CONSIGNA DE TORQUE



equivalente a una máquina de CC

CONTROLADOR DE MOVIMIENTO: PID

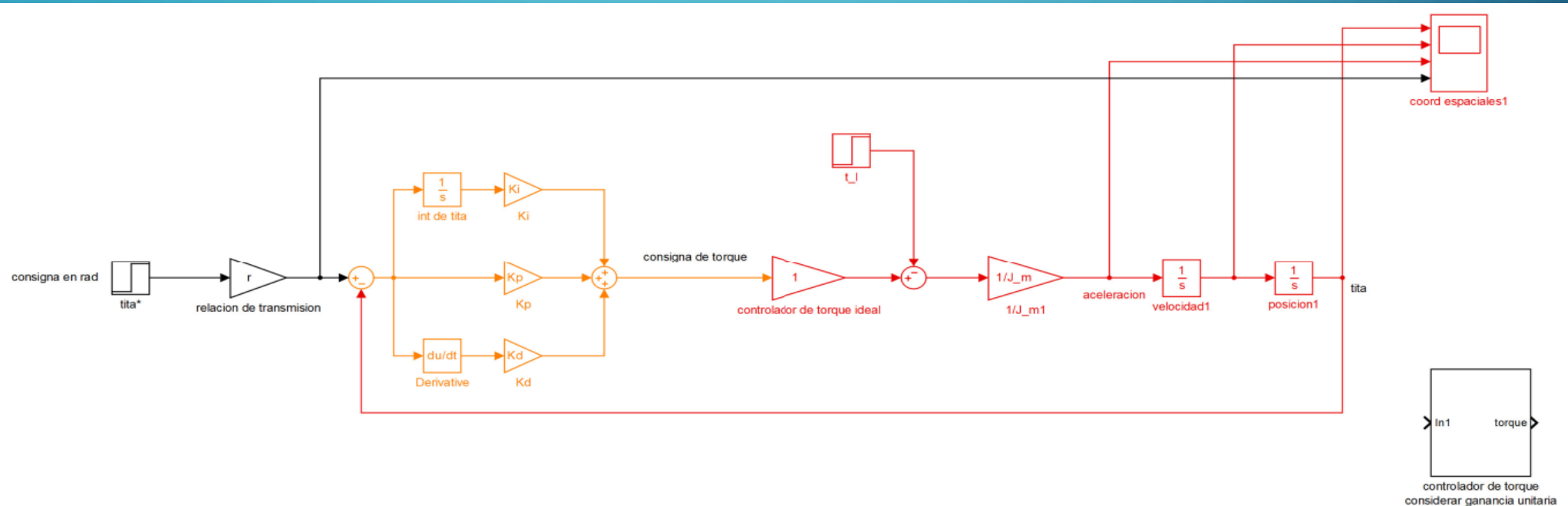
$$n = 2.5$$

$$\omega_{pos} = 800 \frac{\text{rad}}{\text{s}}$$

$$\begin{cases} \omega_{int_pos} = n \cdot \omega_{pos} \\ \omega_{vel} = \frac{1}{n} \omega_{pos} \end{cases}$$



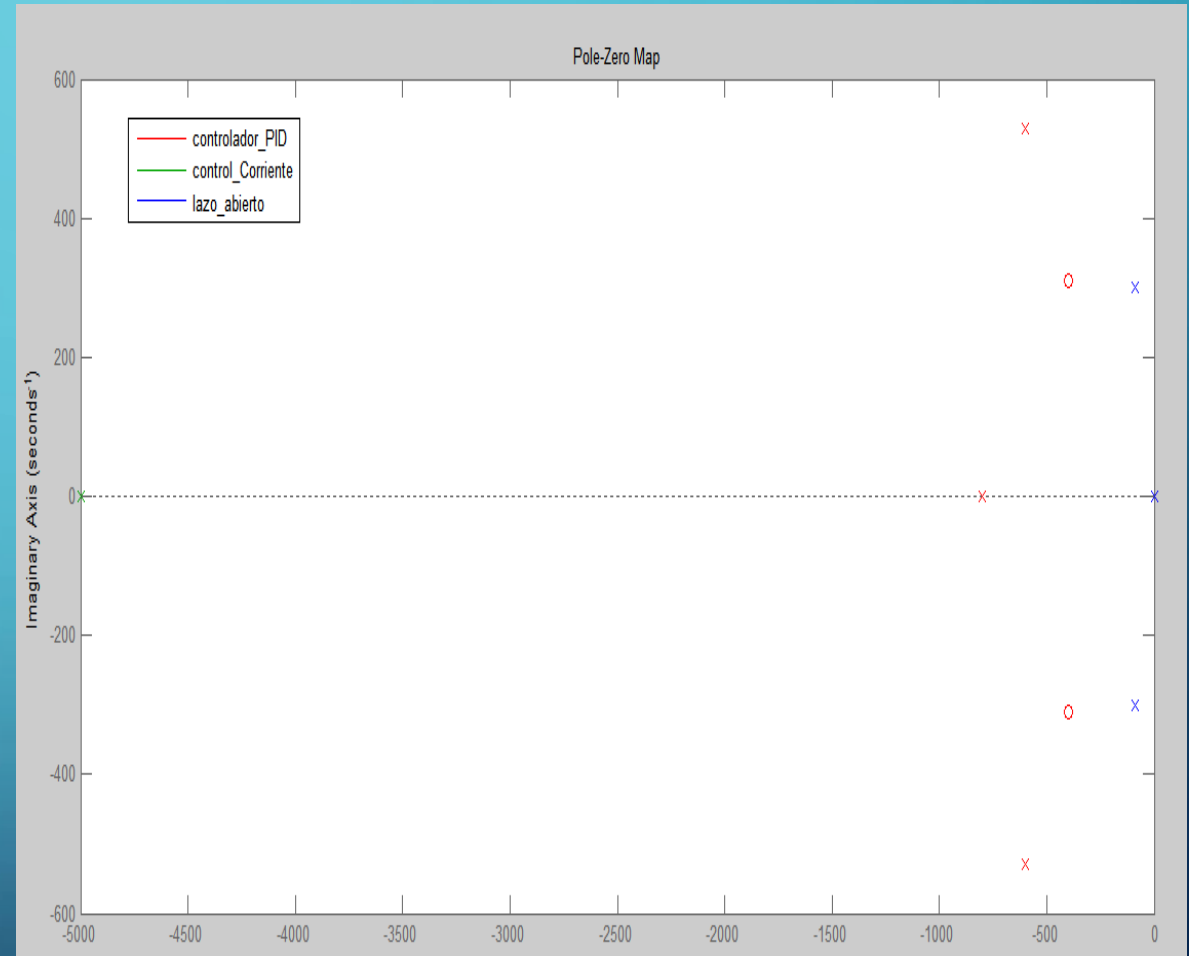
$$\begin{cases} Kd = J'_m n \omega_{pos} = 0.0113 \frac{\text{N.s}}{\text{m}} \\ Kp = J'_m n \omega_{pos}^2 = 9.041 \frac{\text{N}}{\text{m}} \\ Ki = J'_m \omega_{pos}^3 = 2893.3 \frac{\text{N}}{\text{m.s}} \end{cases}$$



POLOS Y CEROS

- Variación extrema de parámetros

	$Jl = 0.3780$		$Jl = 0.1260$	
	$bl = 0,0630$	$bl = -0,0630$	$bl = 0,0630$	$bl = -0,0630$
Polos	-89.0599	-88.9678	-89.718	-89.5722
lazo	$-269.783i$	$-269.754i$	$-346.011i$	$-345.975i$
abierto	0	0	0	0
Amort. en	0.3134	0.3134	0.2509	0.2506
lazo				
abierto				



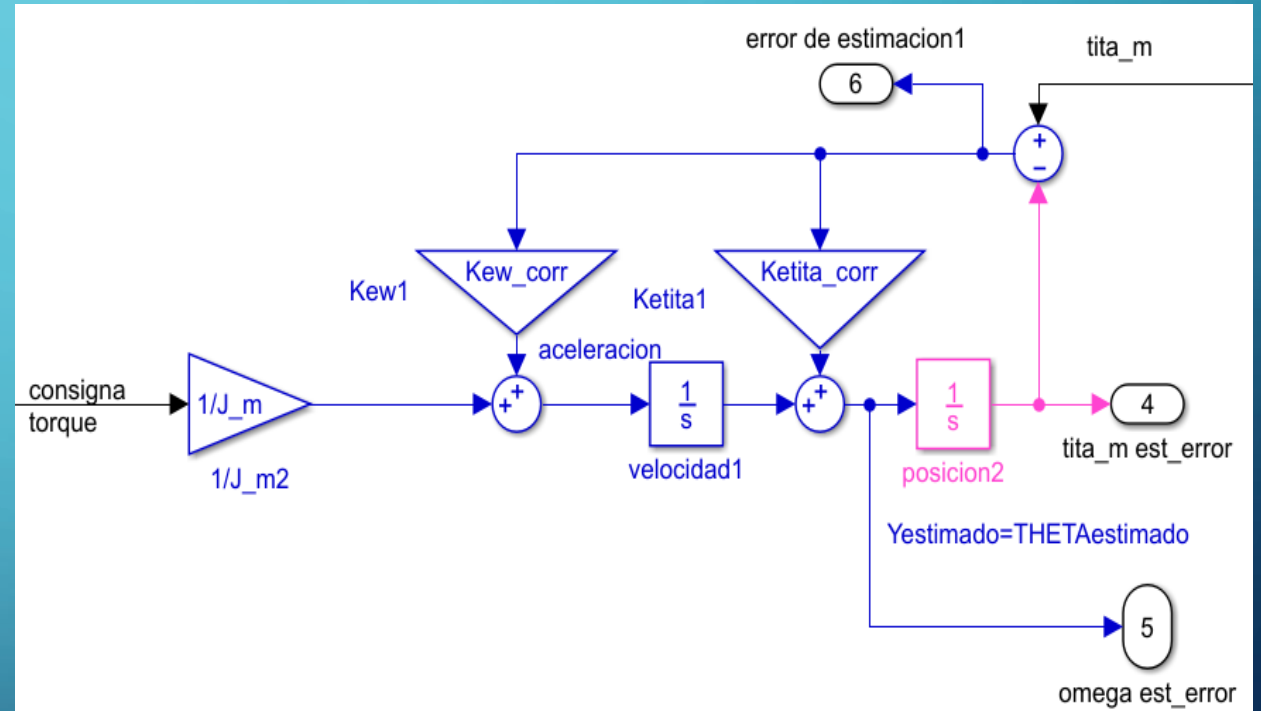
OBSERVADOR DE ESTADOS

$$\text{Polos } p_{1,2} = -3200 \frac{\text{rad}}{\text{s}}$$

$$\begin{cases} \dot{\bar{x}}(t) = [A - K_e C] \bar{x}(t) + BU(t) + K_e y(t) \\ \bar{y}(t) = C \bar{x}(t) \end{cases}$$

$$|sI - (A - K_e C)| = \begin{vmatrix} s + K_\theta & -1 \\ K_\omega & s \end{vmatrix} = (s + 3200)^2$$

$$\begin{cases} K_\theta = -\frac{b_m}{J_m} + 6400 = 6,3973 \cdot 10^3 \frac{\text{rad}}{\text{s}} \\ K_\omega = -\frac{b_m K_\theta}{J_m} + 10240000 = 1,02230 \cdot 10^7 \frac{\text{rad}^2}{\text{s}^2} \end{cases}$$

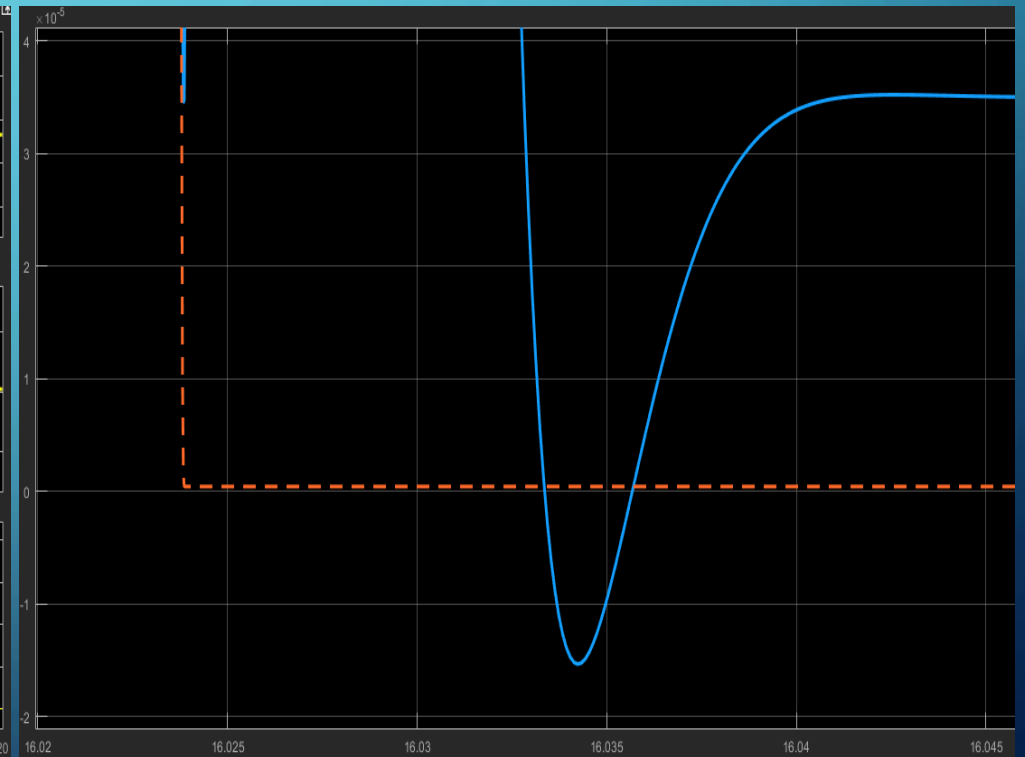
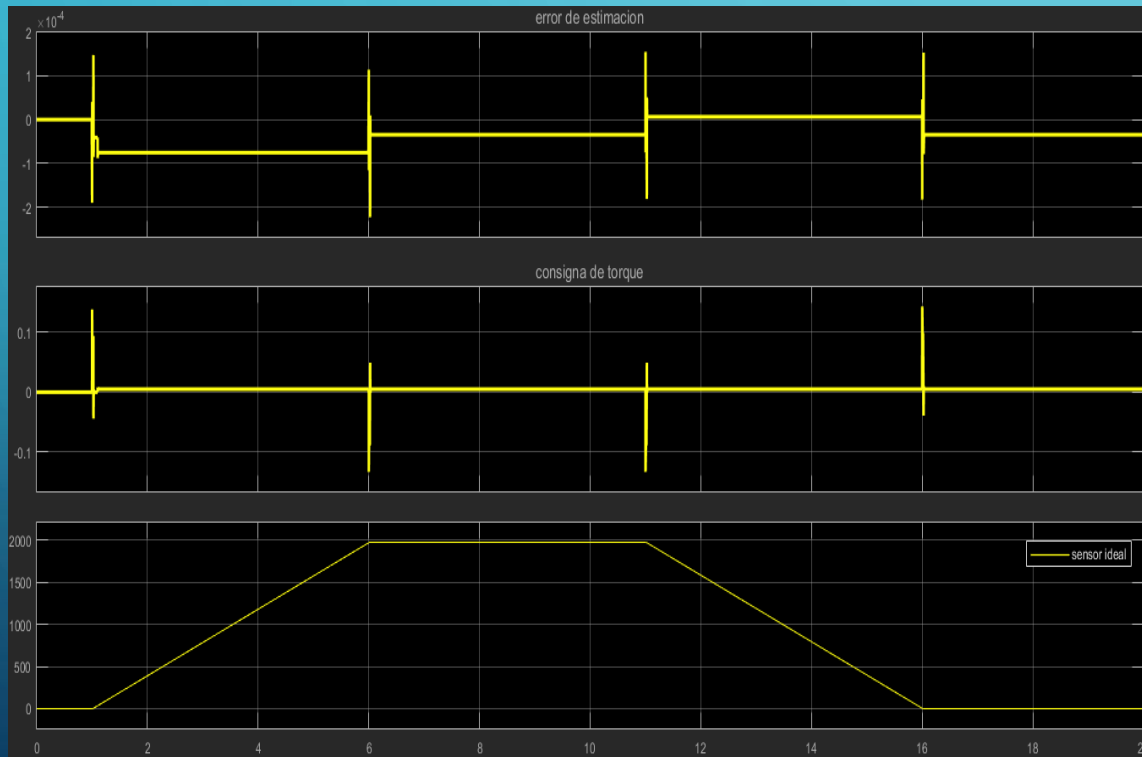


SIMULACIÓN

Con perturbación: Error de estado estacionario

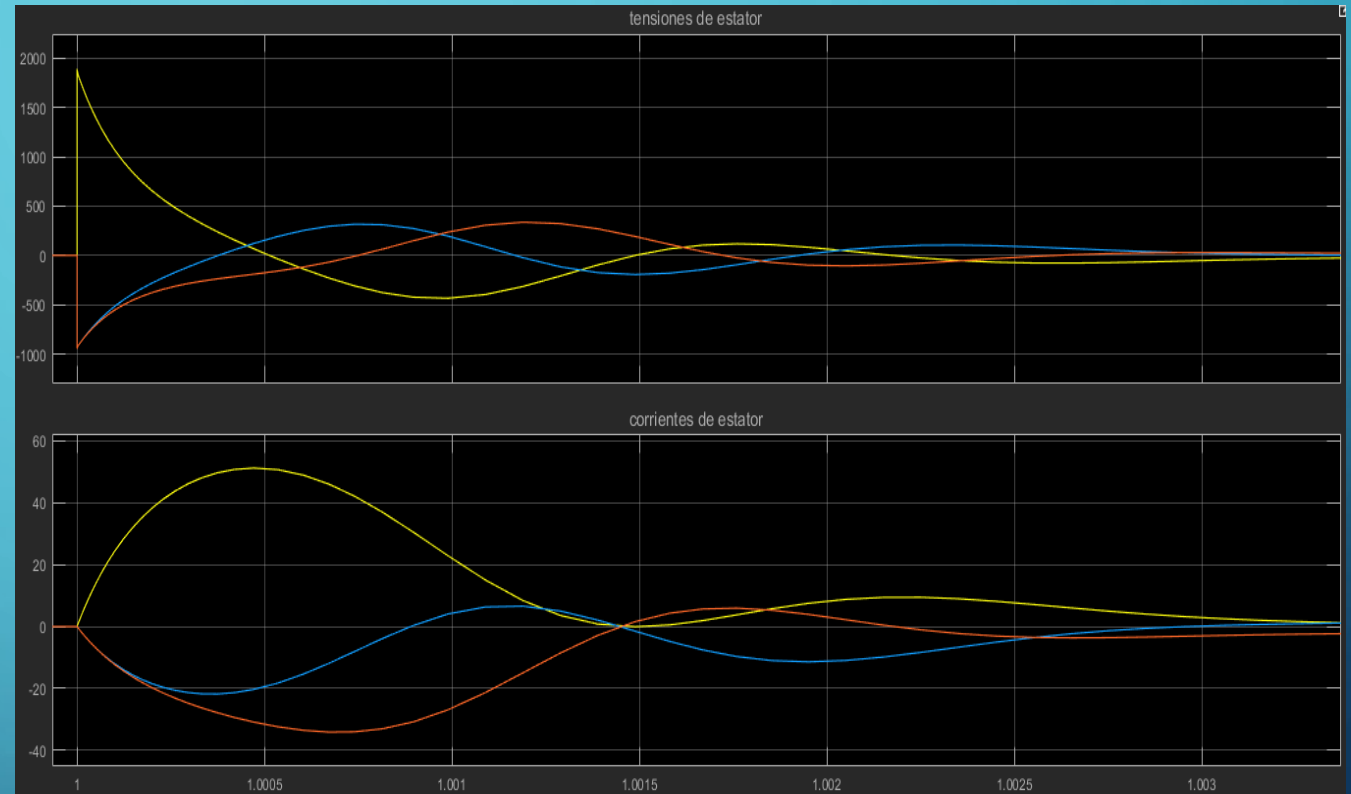
error

torque



RESULTADO

- picos de tensión 2000V
- consigna de torque llega a 5 $N.m$
- corrientes 50A
- Al aplicar el torque de carga hay un transitorio y la corriente aumenta levemente.



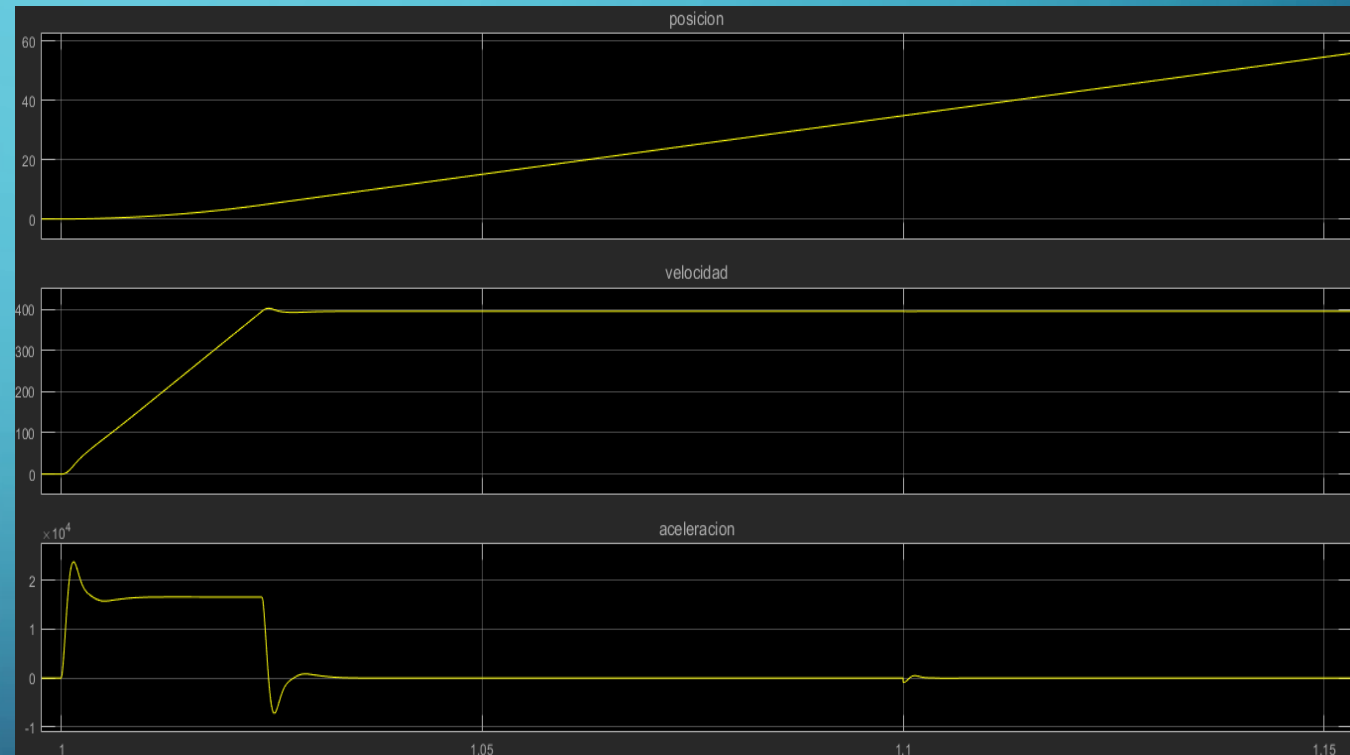
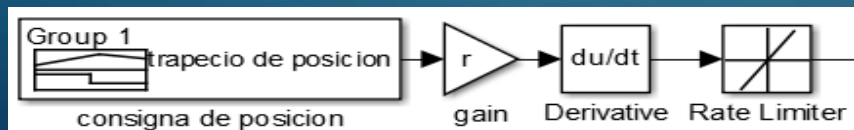
MODIFICACIÓN: CONSIGNA DE VELOCIDAD

- aceleraciones grandes: impulsos
- limitar "tasa de cambio"

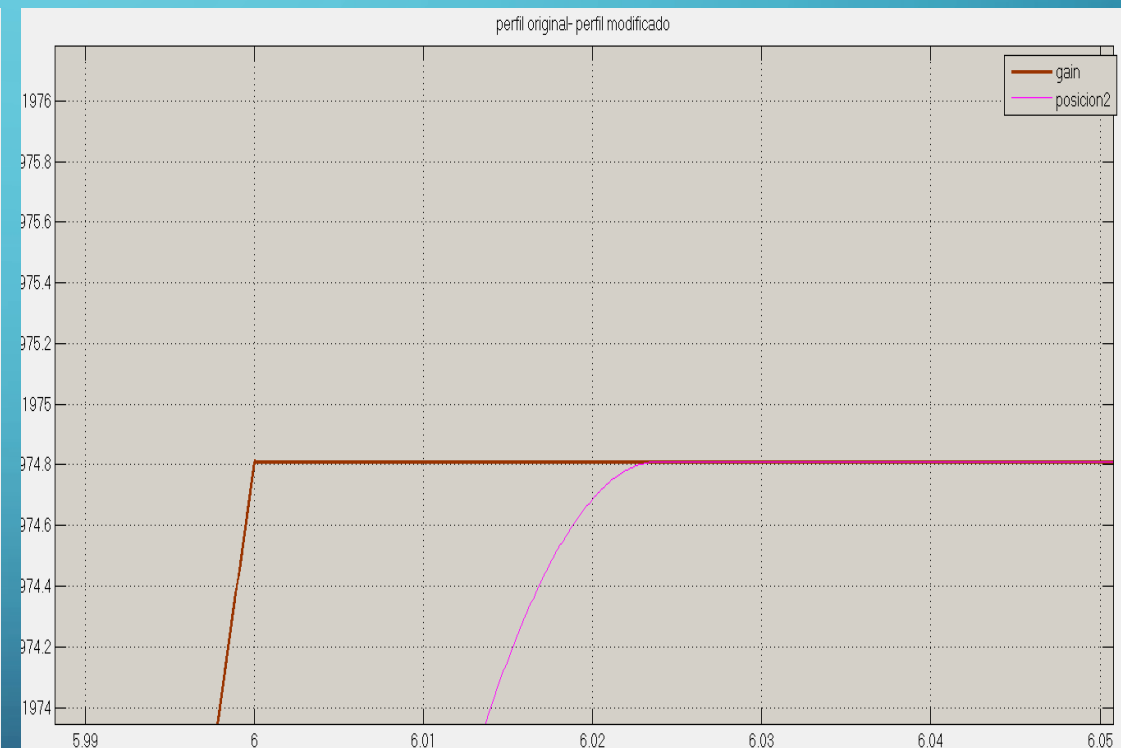
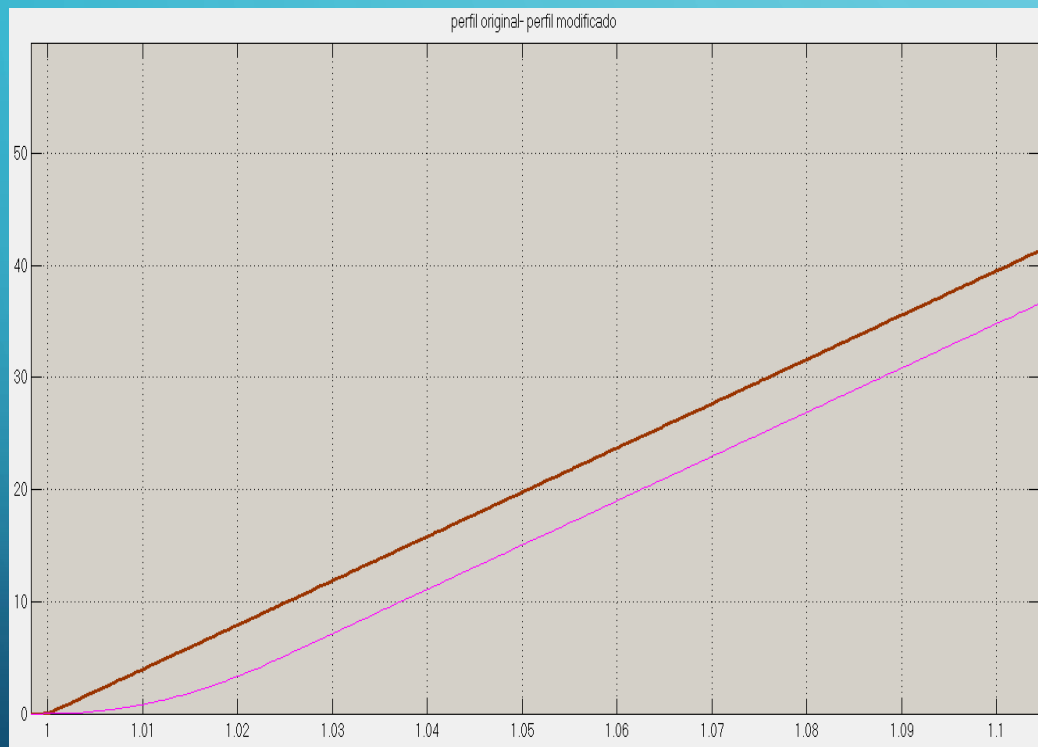
$$T_{m \max}(t) = \frac{T_q}{r} = \frac{29.42 \text{ N.m}}{314,3008} = 0,0936 \text{ N.m}$$

$$i_{q \max} = \frac{2}{3} \frac{T_m}{P_p \lambda_{af}} = 1,351 \text{ A}$$

$$\dot{\omega}_m(t) = \frac{1}{J'_m} (T_m(t) - b'_m \omega_m(t) - T'_l(t)) = 16562 \frac{\text{rad}}{\text{s}^2}$$



PERFIL DE POSICIÓN SUAVIZADO

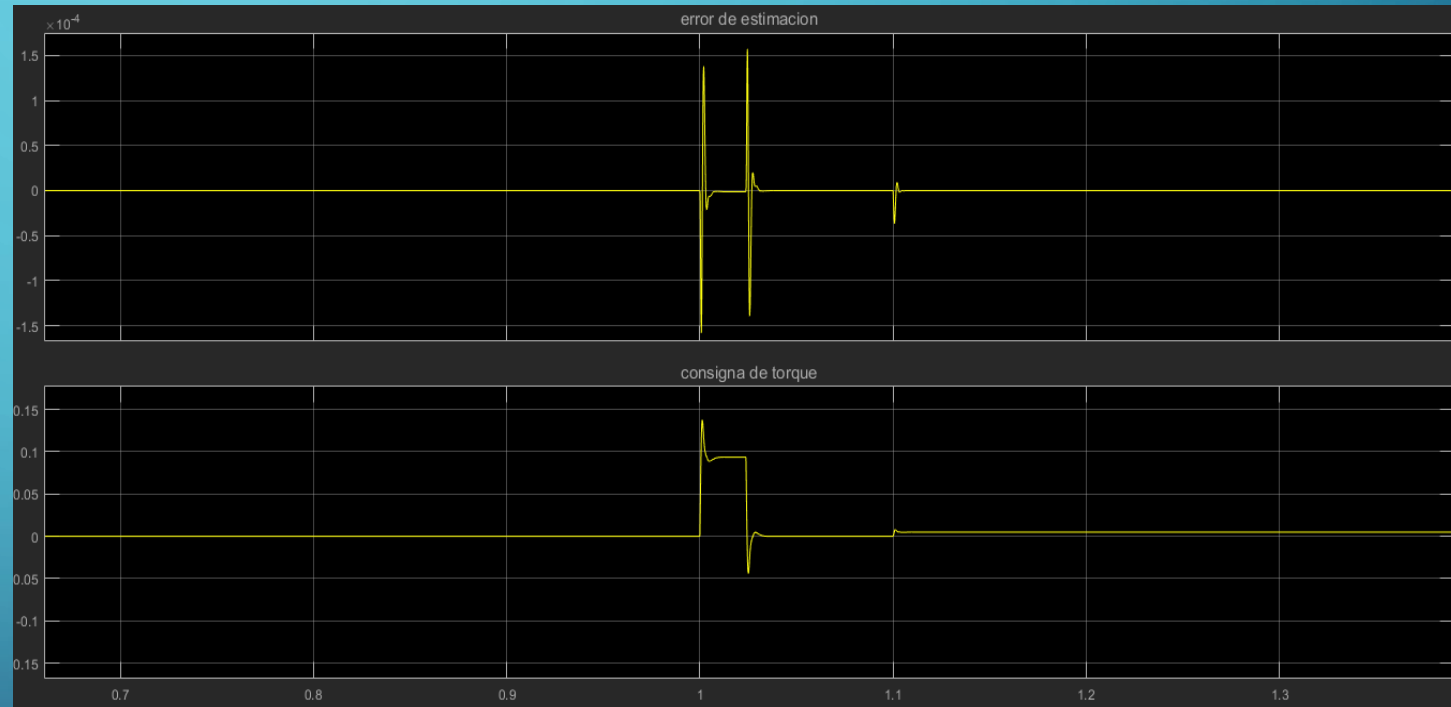


CORRECCIÓN DEL ERROR DEL OBSERVADOR

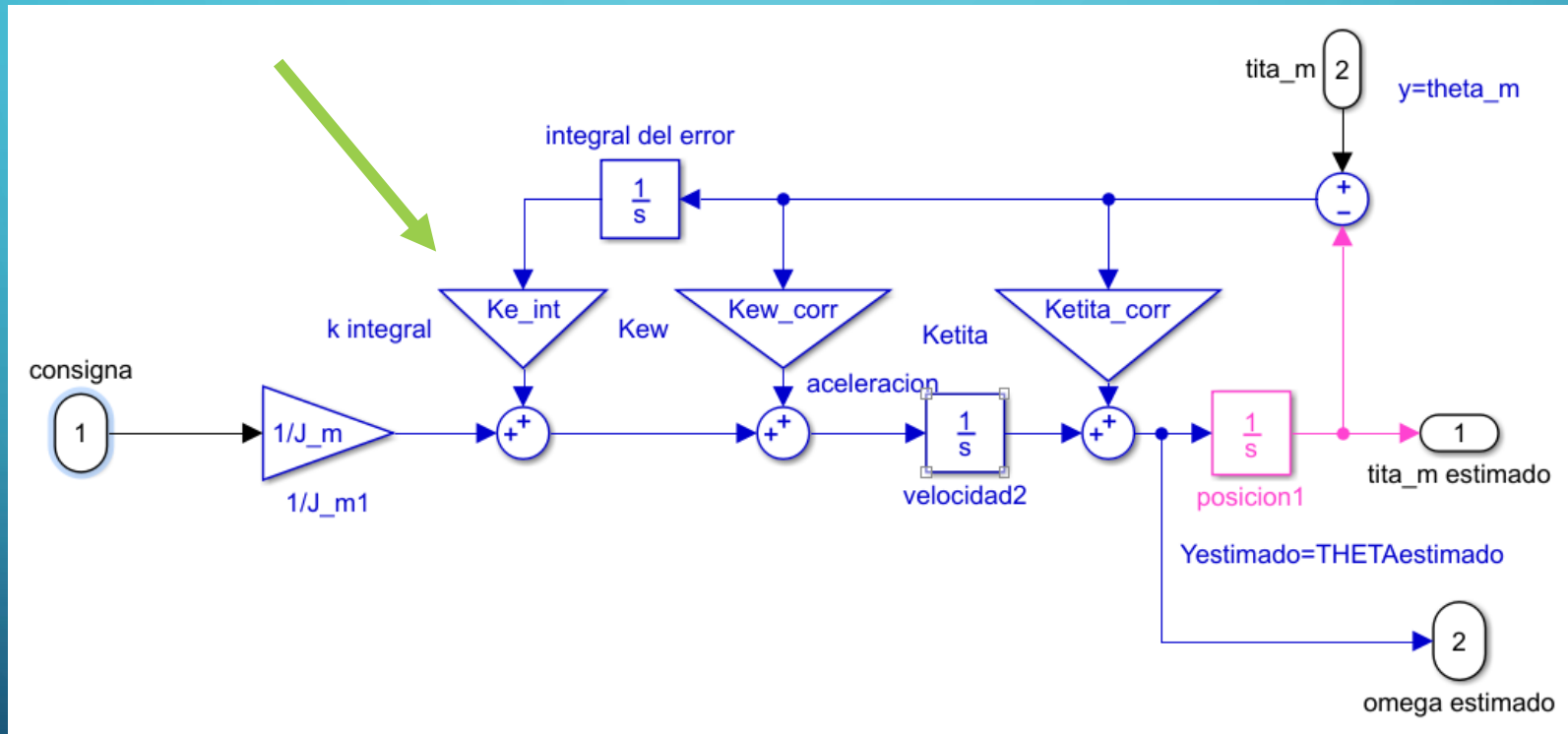
Las ganancias del observador corregido son:

$$\begin{cases} K_{\theta \text{ corr}} = 8000 \\ K_{\omega \text{ corr}} = 25600 \cdot 10^3 \\ K_{i \text{ corr}} = 3,2768 \cdot 10^{10} \end{cases}$$

Se corrige el error de estado estacionario para perturbaciones escalón.



CORRECCIÓN DEL ERROR DEL OBSERVADOR



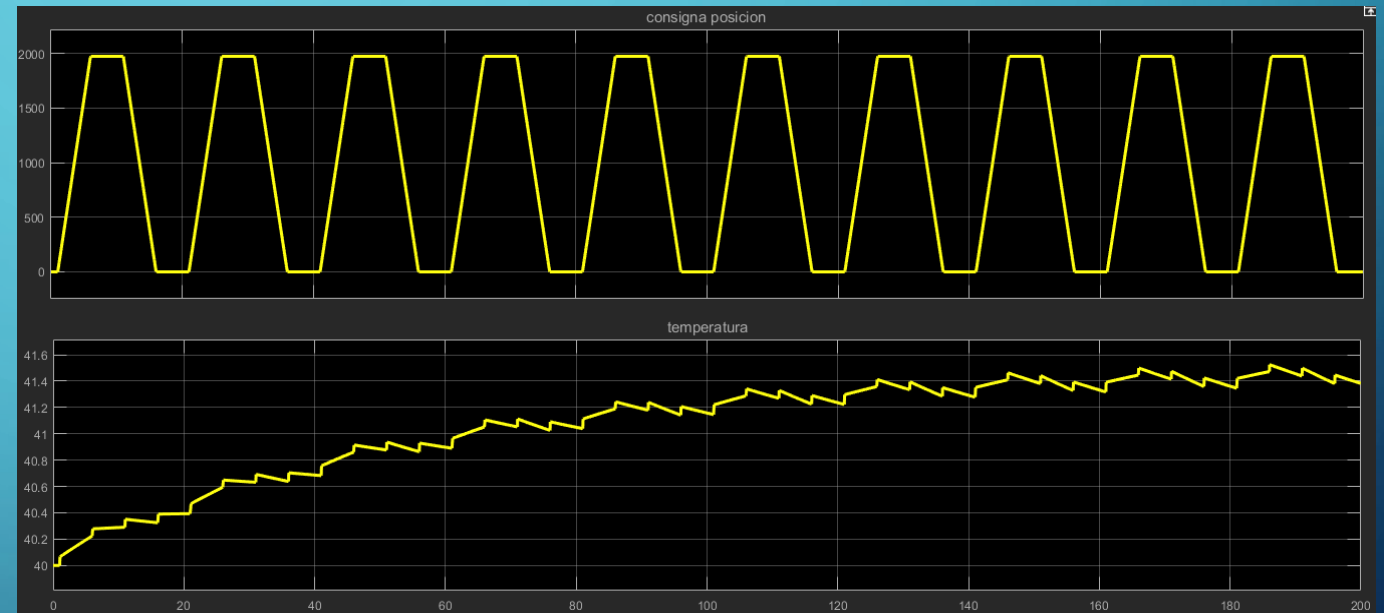
RESULTADOS FINALES DE LA SIMULACIÓN

- velocidad de salida 1,25 rad/s, podría aumentar hasta 2 rad/s
- temperatura no supera los 42°
- tensiones pico a pico rondan los 20V (máximo 24V RMS)
- Frecuencia aprox. 180 Hz, menor a 330Hz

verifica

COMPORTAMIENTO TÉRMICO DEL MOTOR

- ciclos de operación
- se mantiene dentro de los parámetros



CONCLUSIONES

- Se verificó el sistema de control mediante la simulación
- se alcanzaron las especificaciones.
- controlador es robusto
- A futuro

